

**СТАЦИОНАРНЫЕ КОНФИГУРАЦИИ ВОЛОКОН,  
ФОРМУЕМЫХ В НЕИЗОТЕРМИЧЕСКИХ УСЛОВИЯХ**

A. Л. Ярин

(Москва)

Одной из важных задач химической технологии является формование волокон. Несмотря на это, существенное влияние теплообмена на характеристики волокна исследовано недостаточно. Первым шагом является получение стационарных решений. В [1] стационарные конфигурации волокон рассчитаны численно. В данной работе в предположении большой энергии активации вязкого течения получены аналитические решения стационарной задачи.

Будем считать формуемый расплав ньютоновской жидкостью с вязкостью, зависящей от температуры по закону Аррениуса. Достаточно низким температурам соответствуют столь большие значения вязкости, что течение практически прекращается и материал отвердевает. Это приближение лучше всего соответствует поведению расплавленного стекла [2, 3].

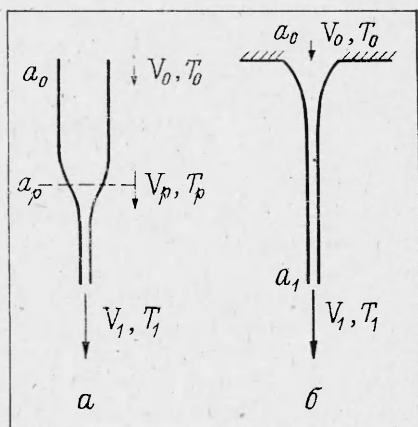
Рассмотрим два наиболее распространенных технологических процесса: 1) вытягивание волокна из нагреваемой до высокой температуры цилиндрической стеклянной заготовки (фиг. 1, а); 2) вытягивание через фильерное отверстие из емкости, содержащей расплав (фиг. 1, б). В обоих случаях вытягиваемое волокно при движении в воздухе охлаждается и отвердевает. В рассматриваемых ситуациях будем считать, что материал поступает с постоянной заданной скоростью  $V_0$ . В конце участка формования волокно попадает на приемное устройство (бобину), задающее некоторое значение продольной скорости. Описание будем вести в рамках квазидномерных уравнений неразрывности, количества движения [4, 5] и распространения тепла, предполагая, что течение достаточно медленно меняется вдоль волокна:

$$(1) \quad \rho f(\partial V/\partial t + V\partial V/\partial x) = \partial P/\partial x, \quad P = 3\mu f\partial V/\partial x, \quad \mu = \mu_0 \exp(U/RT),$$

$$\rho f c \left( \frac{\partial T}{\partial t} + V \frac{\partial T}{\partial x} \right) = \frac{\partial}{\partial x} \left( \lambda f \frac{\partial T}{\partial x} \right) - 2\lambda a q_w.$$

Здесь  $t$  — время;  $x$  — координата, отсчитываемая вдоль оси волокна;  $f$  — площадь сечения волокна (считается, что оно имеет круговое сечение радиуса  $a$ );  $V$  — величина осевой скорости в волокне;  $T$  — температура;  $\rho$ ,  $\mu$ ,  $c$ ,  $\lambda$  — плотность, вязкость, удельная теплоемкость, теплопроводность расплава;  $P$  — величина осевой силы в сечении волокна;  $\mu_0$  и  $U$  — предэкспоненциальный множитель и энергия активации вязкого течения;  $R$  — газовая постоянная;  $q_w$  — тепловой поток в направлении внешней нормали к боковой поверхности волокна.

Силой тяжести, сопротивлением трения о воздух и поверхностным напряжением расплава пренебрегаем. Будем считать вязкие силы настолько большими, что по сравнению с ними инерционные эффекты (левая часть второго уравнения (1)) пренебрежимо малы. Кроме того, будем пренебречь продольным кондуктивным переносом тепла в волокне. Сделанные допущения физически оправданы и неоднократно применялись ранее [6, 7]. Отметим, что в ситуации, когда волокно непрерывно вытягивается из заготовки, уравнения (1) используются также для описания



Фиг. 1

развития течения в заготовке. Система уравнений (1) в рассматриваемом стационарном случае приобретает вид

$$(2) \quad fV = Q, \quad dP/dx = 0, \quad \rho c Q dT/dx = -2\pi a q_w,$$

где  $Q$  — объемный расход, определяемый граничными условиями задачи;  $Q = \pi a_1^2 V_1$  ( $a_1$  и  $V_1$  — радиус и скорость волокна, поступающего на приемное устройство). С учетом уравнения неразрывности преобразуем уравнения количества движения и распределения тепла (2) к виду

$$(3) \quad \frac{1}{2V} \frac{dV}{dx} = C \exp(-U/RT), \quad \frac{dT}{dx} = \frac{A_w}{\sqrt{V}},$$

где  $C$  — постоянная интегрирования;  $A_w = -(2q_w/\rho c)\sqrt{\pi/Q}$ . (В дальнейшем будем обозначать тепловой поток в области заготовки  $q_w = q < 0$  и соответственно  $A_w = A$ ; на стадии вытягивания, где происходит охлаждение,  $q_w = q' > 0$  и соответственно  $A_w = A'$ .)

Вводя в рассмотрение функцию  $\varphi = \sqrt{V}$ , получим из (3) систему

$$(4) \quad d\varphi/dx = C\varphi \exp(-U/RT), \quad dT/dx = A_w/\varphi.$$

Выбирая в качестве переменной  $T$ , имеем

$$(5) \quad d\varphi/dT = C\varphi^2/A_w \exp(-U/RT).$$

Будем считать, рассматривая формование из заготовки, что на участке некоторой, пока не определенной, длины  $l$  в заготовке происходит нагрев стекла от начальной температуры  $T_0$  до температуры  $T_p$ , а на стадии вытяжки на участке пока не определенной длины  $l_1$  до приемного устройства температура волокна падает до  $T_1$ . Вообще говоря, заданными могут быть  $l$  и  $l_1$ , а величины  $T_p$  и  $T_1$  должны быть определены, но поскольку в результате решения задачи будут получены зависимости длин  $l$  и  $l_1$  от соответствующих температур, то принятая постановка задачи является просто более удобной.

Обозначая  $\varphi_0 = \sqrt{V_0}$  и интегрируя (5), получим

$$(6) \quad \int_{\varphi_0}^{\varphi} \frac{d\varphi}{\varphi^2} = C \int_{T_0}^T A^{-1} \exp(-U/RT) dT.$$

Подынтегральная функция  $A^{-1} \exp(-U/RT)$  в (6) при достаточно больших значениях энергии активации  $U$  (что имеет место в действительности [2]) вследствие существенной нелинейности закона Аррениуса изменяется на интервале  $T_0 \leqslant \tilde{T} \leqslant T$  лишь в узком пограничном слое вблизи  $T$  вне зависимости от характера изменения  $A^{-1}$  с  $\tilde{T}$ ; тепловой поток — степенная функция  $\tilde{T}$ . Это позволяет использовать метод Лапласа [8] и получить асимптотическое выражение для интеграла в виде

$$\begin{aligned} \int_{T_0}^T A^{-1} \exp(-U/RT) dT &= \frac{A^{-1}(T) RT^2}{U} \exp(-U/RT) \simeq \\ &\simeq \frac{A^{-1}(T_p) RT_p^2}{U} \exp(-U/RT_p) \exp\left[-\frac{U}{RT_p^2}(T - T_p)\right]. \end{aligned}$$

Здесь приближенное второе равенство получено с использованием метода разложения Д. А. Франк-Каменецкого [9]. В результате получается хорошее приближение, когда  $T$  близко к  $T_p$ ; в противном случае как сама функция, так и ее приближение по [9] близки к нулю, и, следовательно, приближение вновь удовлетворительно.

Таким образом, понимая под  $A$  значение  $A(T_p)$ , получаем связь скорости с температурой в заготовке в виде

$$(7) \quad \frac{1}{\varphi} = \frac{1}{\varphi_0} - \frac{C}{A} \frac{\exp(-U/RT_p)}{U/RT_p^2} \exp \left[ \frac{U}{RT_p^2} (T - T_p) \right].$$

Подставляя (7) во второе уравнение (4) и интегрируя с учетом граничного условия  $x = 0, T = T_0$ , находим зависимость температуры в заготовке от продольной координаты

$$(8) \quad \frac{(T - T_0)/\varphi_0}{A} - \frac{\varphi_0}{AU/RT_p^2} \ln \left\{ 1 - \frac{C \exp(-U/RT_p)}{AU/RT_p^2} \times \right. \\ \left. \times \exp \left[ \frac{U}{RT_p^2} (T - T_p) \right] \right\} = x.$$

Введем в рассмотрение вместо неизвестной константы  $C$  величину скорости в конце заготовки (в конце области нагрева)  $V_p$  (и  $\varphi_p = V/V_p$ ), также пока неизвестную. С учетом (7) получаем

$$(9) \quad C = \left( \frac{1}{\varphi_0} - \frac{1}{\varphi_p} \right) (AU/RT_p^2) \exp(U/RT_p).$$

Кроме того, с использованием (8) получим зависимость длины зоны нагрева  $l$  от  $T_p$ :

$$(10) \quad l = \frac{(T_p - T_0)/\varphi_0}{A} - \frac{\varphi_0}{AU/RT_p^2} \ln \frac{\varphi_0}{\varphi_p}.$$

Тем самым установлена связь длины  $l$  с  $T_p$ .

Переходя в (7), (8) к безразмерным переменным и используя уравнение неразрывности, получим с учетом (8), (9) параметрическую зависимость радиуса заготовки в зоне нагрева от продольной координаты

$$(11) \quad \bar{a} = V\bar{E} - (V\bar{E} - \bar{a}_p) \exp[\theta(\bar{T} - 1)], \\ \bar{x} = [\bar{T} - \bar{T}_0 - \theta^{-1} \ln \{1 - (1 - \bar{a}_p/V\bar{E}) \exp[\theta(\bar{T} - 1)]\}]L^*/L.$$

Здесь радиус отнесен к  $a_1$ ; температура — к  $T_p$ ;  $x$  — к полной длине формируемого волокна  $L = l + l_1$ ;  $\bar{a}_p$  — безразмерное значение радиуса в конце зоны нагрева (пока неизвестное);  $E$  — кратность вытяжки, равная  $V_1/V_0 = (a_0/a_1)^2$ . Кроме того,

$$L^* = -\rho c T_p Q / 2q\pi a_0, \quad \theta = U/RT_p, \\ l = L^*[1 - \bar{T}_0 + \theta^{-1} \ln(V\bar{E}/\bar{a}_p)] (q = q(T_p) < 0).$$

Неизвестная величина  $\bar{a}_p$  будет определена после решения задачи о поведении волокна на стадии вытягивания, когда происходит его охлаждение ( $q' > 0$ ). Это последнее решение совместно с (11) должно обеспечивать непрерывность распределений радиуса, скорости и силы в сечении волокна по его длине, чем и определяется  $\bar{a}_p$ . На стадии вытягивания уравнение (5) интегрируется в виде

$$(12) \quad \int_{\varphi_p}^{\varphi} \frac{d\varphi}{\varphi^2} = C \int_{T_p}^T (A')^{-1} \exp(-U/R\tilde{T}) d\tilde{T}.$$

Здесь, как и ранее,  $\varphi_p = V/V_p$ ;  $V_p$  — неизвестная скорость в конце зоны нагрева, т. е. в начальном сечении участка вытягивания.

Используя метод Лапласа и разложение [9], находим

$$(13) \quad \frac{1}{\varphi} = \frac{1}{\varphi_p} - \frac{C}{A'} \frac{\exp(-U/RT_p)}{U/RT_p^2} \left\{ \exp \left[ \frac{U}{RT_p^2} (\tilde{T} - T_p) \right] - 1 \right\}, \\ A' = A'(T_p).$$

С учетом граничного условия на приемном устройстве  $\varphi = \varphi_1 = V/V_1$  при  $T = T_1$  получаем из (13)

$$(14) \quad C = \left( \frac{1}{\varphi_1} - \frac{1}{\varphi_p} \right) (A' U / R T_p^2) \exp(U / R T_p).$$

Непрерывность распределения силы вдоль волокна обеспечивается равенством выражений (9), (14): сила в сечении  $P = 6\mu_0 Q C$ . Следовательно,  $(1/\varphi_0 - 1/\varphi_p)A = (1/\varphi_1 - 1/\varphi_p)A'$ . Найдя из последнего равенства  $\varphi_p$  и воспользовавшись постоянством объемного расхода вдоль волокна, получаем для  $\bar{a}_p$  выражение

$$(15) \quad \bar{a}_p = (\sqrt{\bar{E}} - A'/A) / (1 - A'/A).$$

С использованием (15) равенства (11) позволяют определить профиль заготовки в зоне нагрева. Отметим, что  $A'/A < 0$ .

Воспользовавшись связью скорости с температурой, описываемой в зоне охлаждения и вытягивания волокна соотношениями (13), (14), с помощью уравнения неразрывности можем получить зависимость радиуса от температуры. Затем, интегрируя второе уравнение (4), получим распределение температуры вдоль этой зоны:

$$(16) \quad \begin{aligned} \bar{a} &= \bar{a}_T \left[ 1 - \frac{1 - \sqrt{\bar{E}}}{\sqrt{\bar{E}} - A'/A} \{ \exp[\theta(\bar{T} - 1)] - 1 \} \right], \\ \bar{x} &= \frac{l}{L} + \frac{\sqrt{\bar{E}} L^*}{L} \frac{A}{A'} \left[ \bar{T} - 1 - \theta^{-1} \ln \left\{ \frac{1 - A'/A}{\sqrt{\bar{E}} - A'/A} - \right. \right. \\ &\quad \left. \left. - \frac{1 - \sqrt{\bar{E}}}{\sqrt{\bar{E}} - A'/A} \exp[\theta(\bar{T} - 1)] \right\} \right]. \end{aligned}$$

Чертой сверху по-прежнему обозначены безразмерные величины.

Полагая в последнем равенстве (16)  $\bar{T} = \bar{T}_1$ , вычисляем полную длину волокна от сечения, в котором начинается нагрев заготовки, до сечения, в котором волокно охлаждается до  $\bar{T} = \bar{T}_1$ :

$$L = l + l_1 = l + \sqrt{\bar{E}} L^* \frac{A}{A'} \left[ \bar{T}_1 - 1 - \theta^{-1} \ln \left( \frac{1 - A'/A}{\sqrt{\bar{E}} - A'/A} \right) \right].$$

Тем самым установлена связь длины  $l_1$  с  $T_1$ . Выражение для продольной силы в волокне, вытягиваемом из заготовки, имеет вид

$$P = \{ [12\pi\mu_0 a_0(-q)\theta \exp(\theta)] / (\rho c T_p) \} (1 - \bar{a}_p / \sqrt{\bar{E}}).$$

Определение стационарной конфигурации волокна, вытягиваемого из фильтры, совершенно аналогично рассмотрению, проведенному выше для зоны охлаждения волокна, вытягиваемого из заготовки. Результат имеет вид

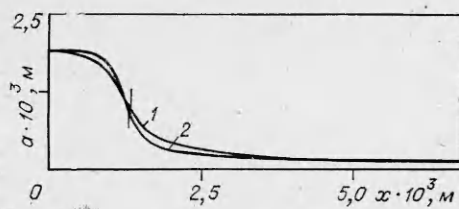
$$(17) \quad \begin{aligned} \bar{a} &= \sqrt{\bar{E}} - (1 - \sqrt{\bar{E}}) \{ \exp[\theta(\bar{T} - 1)] - 1 \}, \\ \bar{x} &= \frac{\bar{T} - 1 - \theta^{-1} \ln \{ E^{-1/2} - (E^{-1/2} - 1) \exp[\theta(\bar{T} - 1)] \}}{\bar{T}_1 - 1 + (2\theta)^{-1} \ln E}. \end{aligned}$$

Здесь по-прежнему радиус отнесен к  $a_1$ ; температура — к начальному значению  $T_0$ , а масштабом для продольной координаты является

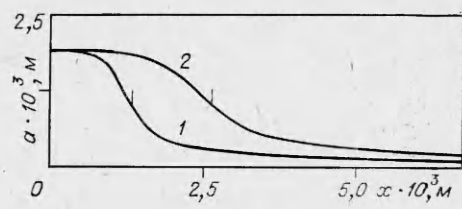
$$(18) \quad L_1 = - \frac{\rho c T_p V_1 a_1}{2q'} \left( \bar{T}_1 - 1 + \frac{\theta^{-1}}{2} \ln E \right) \quad (q' = q'(T_0) > 0)$$

— длина, на которой температура волокна падает вследствие теплоотвода от известного заранее начального значения на срезе фильтры  $T_0$  до конечного на приемном устройстве  $T_1$ . Наоборот, можно считать заданным значение  $L_1$  и определять  $T_1$  из (18).

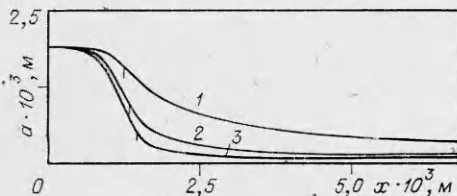
Таким образом, получено, что стационарная конфигурация волокна, вытягиваемого из заготовки, описывается соотношениями (11), (15), (16), а волокна, вытягиваемого из фильтры, — соотношениями (17). Получен-



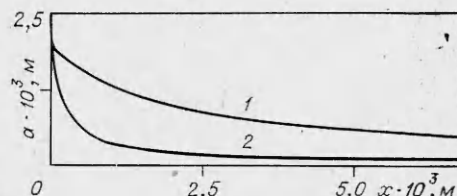
Фиг. 2



Фиг. 3



Фиг. 4



Фиг. 5

ные результаты не позволяют путем предельного перехода  $\theta \rightarrow 0$  прийти к известному изотермическому решению [6]  $\bar{a} = (\sqrt{E})^{1-\bar{x}}$  (вытяжка из фильеры). Это естественно, так как все полученные здесь результаты соответствуют асимптотике  $\theta \gg 1$ .

Проиллюстрируем полученные результаты. В случае вытягивания стекловолокна из нагреваемой заготовки в расчетах полагалось: радиус заготовки  $a_0 = 0,19 \cdot 10^{-2}$  м; ее температура  $T_0 = 300$  К; температура, до которой нагревается заготовка,  $T_p = 1873$  К; радиус волокна на приемном устройстве  $a_1 = 6,25 \cdot 10^{-5}$  м, скорость  $V_1 = 0,3$  м/с, температура  $T_1 = 300$  К. Плотность стекла  $\rho = 2,2 \cdot 10^3$  кг/м<sup>3</sup>, его удельная теплоемкость  $c = 1,043 \cdot 10^3$  Дж/(кг·град). Полагалось, что  $q(T_p) = -92,7 \times 10^4 \varepsilon$  Дж/(м<sup>2</sup>·с), где  $\varepsilon$  — безразмерный множитель, имеющий смысл степени черноты стекла.

Конфигурации вытягиваемых волокон с различными значениями безразмерной энергии активации  $\theta$  представлены на фиг. 2, где  $\varepsilon = 1$ ,  $q'/q = A'/A = -1$ , кривой 1 отвечает значение  $\theta = 7$ , 2 —  $\theta = 10$ , вертикальные черточки показывают положение границы зоны нагрева. Видно, что с увеличением  $\theta$  представление о квазиодномерности течения в области нагрева становится менее обоснованным. В приведенном примере кратность вытяжки весьма велика ( $E = 924$ ); с уменьшением  $E$  квазиодномерный характер течения в области нагрева не нарушается при значениях  $\theta$ , существенно больших 10.

Уменьшение подводимого и отводимого потоков тепла при фиксированных значениях  $\theta$  и отношения  $A'/A$  ( $q'/q$ ) ведет к более плавному переходу от зоны нагрева к зоне вытяжки, о чем свидетельствуют данные фиг. 3, где  $\theta = 7$ ,  $A'/A = -1$ , кривой 1 отвечает  $\varepsilon = 1$ , 2 —  $\varepsilon = 0,5$ .

Влияние относительной интенсивности отвода и подвода тепла на конфигурацию формируемого волокна иллюстрируется фиг. 4, где  $\theta = 7$ ,  $\varepsilon = 1$ , кривой 1 отвечает  $A'/A = -0,2$ , 2 —  $A'/A = -1$ , 3 —  $A'/A = -3$ . Увеличение интенсивности теплоотвода при фиксированном потоке тепла к заготовке ведет к заметному ускорению формования волокна. Общая длина формируемого волокна в случае, когда задана температура  $T_1$ , резко уменьшается при увеличении теплоотвода. Однако интенсификация теплоотвода ведет также к заметному росту продольной силы в волокне, что может вызвать его разрыв. На фиг. 5 показаны рассчитанные профили волокон, формуемых вытяжкой из фильеры с радиусом  $0,19 \cdot 10^{-2}$  м. Величины тепловых потоков  $q'(T_0) = 92,7 \cdot 10^3$  Дж/(м<sup>2</sup>·с) (кривая 1) и  $q'(T_0) = -92,7 \cdot 10^4 \varepsilon$  Дж/(м<sup>2</sup>·с) (кривая 2),  $T_0 = 1873$  К, а значения остальных параметров волокна те же, что в расчетах вытяжки из заготовки.

Поступила 26 X 1981

## ЛИТЕРАТУРА

1. Paek U. C., Runk R. B. Physical behavior of the neck-down region during furnace drawing of silica fibers.— J. Appl. Phys., 1978, vol. 49, N 8.
2. Doremus R. H. Glass science. N. Y.: Wiley, 1978.
3. Зябциккий А. Теоретические основы формования волокон. М.: Химия, 1979.
4. Еитов В. М., Ярин А. Л. Уравнения динамики струй капельной жидкости.— Изв. АН СССР. МЖГ, 1980, № 5.
5. Еитов В. М., Кордонский В. И. и др. Исследование распада струй реологически сложных жидкостей.— ПМТФ, 1980, № 3.
6. Matovich M. A., Pearson J. R. A. Spinning a molten threadline. Steady-state viscous flows.— Ind. Eng. Chem. Fund., 1969, vol. 8, N 3.
7. Kase S. Studies on melt spinning. IV. On the stability of melt spinning.— J. Appl. Polym. Sci., 1974, vol. 18, N 11.
8. Евграфов М. А. Асимптотические оценки и целые функции. М.: Наука, 1979.
9. Франк-Каменецкий Д. А. Диффузия и теплопередача в химической кинетике. М.: Наука, 1967.

УДК 532.70 + 535.211

## ОБ УСТОЙЧИВОСТИ ПЛОСКОГО ФРОНТА ВОЛНЫ ИСПАРЕНИЯ ЖИДКОСТИ

*Е. Б. Левченко, А. Л. Черняков*

*(Москва)*

При воздействии на конденсированную среду мощного потока излучения в глубь вещества распространяется волна испарения. В тех случаях, когда толщина области перед фронтом волны, прогретой за счет теплопроводности, является малой по сравнению с характерными размерами рассматриваемой системы, вообще говоря, возможно осуществление квазистационарного режима, при котором скорость движения фронта волны определяется мгновенным значением плотности потока энергии, поглощаемой в среде. Фактически процесс разрушения материалов при достаточно больших интенсивностях потока энергии (для металлов — при  $Q > 10^5 - 10^6 \text{ Вт/см}^2$ ), как правило, сопровождается различными нестационарными явлениями, такими как автоколебания в потоке газа, выброс вещества в виде капель и т. п. [1], что, по-видимому, указывает на неустойчивость квазистационарного режима испарения.

В данной работе исследуется устойчивость плоского фронта волны испарения жидкости, рассматриваемого как поверхность разрыва термодинамических функций вещества. Аналогичная задача в теории медленного горения исследовалась Л. Д. Ландау [2], который открыл также механизм неустойчивости плоской волны химической реакции, связанный с развитием вихревых возмущений в потоке продуктов горения. Применительно к процессу испарения вещества мощным потоком излучения указанный механизм неустойчивости оказывается решающим для развития флукутаций фронта с длинами волн, сравнимыми с диаметром пятна фокусировки излучения. Существенной особенностью процесса испарения, вследствие которой к последнему не применимы непосредственно результаты, полученные в теории медленного горения [2, 3], является высокая скорость разлета паров, сравнимая со скоростью звука в газе. Учет сжимаемости паров, необходимый в этом случае, приводит к изменению как условий возникновения, так и характера развития неустойчивости плоского фронта волны испарения жидкости.

Выберем систему отсчета, в которой плоский фронт волны испарения покоятся, и направим декартову ось  $z$  по нормали к фронту, так что область  $z < 0$  заполнена жидкостью, а  $z > 0$  — паром. В этой системе координат температурный профиль является стационарным и в отсутствие поглощения излучения в парах при поверхностном испарении имеет вид

$$T_0(z) = \begin{cases} T_{0l}(z), & z < 0, \\ T_{0g}(z) = \text{const}, & z > 0, \end{cases}$$

$$T_{0l} = T_{0s} \exp\left(\frac{v_l z}{\chi_l}\right) + \frac{Q}{\chi_l} \frac{e^{(v_l z / \chi_l)} - e^{\mu z}}{\mu - v_l / \chi_l},$$

где  $Q$  — плотность потока энергии;  $\mu$  — коэффициент поглощения излучения;  $\chi_l = \rho_l c_l \chi_l$  — теплопроводность;  $c_l$ ,  $\rho_l$  — теплоемкость и плотность жидкости. Температура поверхности  $T_{0s}$  и скорость течения  $v_l$  определяются из закона сохранения энергии